

УДК 620.170.5; 539.4

НАПРЯЖЕННОЕ СОСТОЯНИЕ В ОКРЕСТНОСТИ НАКЛОННОГО ЭЛЛИПТИЧЕСКОГО ДЕФЕКТА И КОЭФФИЦИЕНТЫ ИНТЕНСИВНОСТИ НАПРЯЖЕНИЙ ПРИ ДВУХОСНОМ НАГРУЖЕНИИ ПЛАСТИНЫ

А. А. Остсемин, П. Б. Уткин*

ООО "Южно-Уральский научно-производственный центр", 450019 Челябинск

* Южно-Уральский государственный университет, 454080 Челябинск

E-mail: shum@math.susu.ac.ru

Рассматривается задача определения напряженного состояния пластины с наклонным эллиптическим вырезом при двухосном нагружении. Методом Колосова — Мусхелишвили получено выражение для напряжений вблизи вершины наклонного эллипса, из которого в частном случае получаются выражения для напряжений в случае наклонной трещины. Методом голографической интерферометрии экспериментально определены коэффициенты интенсивности напряжений K_I и K_{II} в случае растяжения пластины с наклонным трещиноподобным дефектом. Проведено сравнение результатов расчетов с экспериментальными данными.

Ключевые слова: механика разрушения, коэффициенты интенсивности напряжений, метод Колосова — Мусхелишвили, напряженное состояние, пластина с наклонным эллиптическим вырезом, метод голографической интерферометрии.

Введение. Критерии предельного разрушения можно разделить на простые и сложные. К числу простых относятся критерии, учитывающие только сингулярную составляющую напряжений и выражающиеся через коэффициенты интенсивности напряжений (КИН). Сложными являются критерии, полученные в результате уточненного анализа напряженного состояния (НС) вблизи вершин трещиноподобного дефекта и учитывающие регулярную составляющую напряжений [1]. В случае коррозионных притупленных трещин дефект моделируется эллиптическим вырезом. Наиболее распространенным и обоснованным является подход, в соответствии с которым характеристики НС необходимо определять не в самой вершине трещины, а на некотором расстоянии r_0 от нее [1, 2]. С использованием сложных критериев предельного равновесия наклонной трещины [1] методом голографической интерферометрии [3] получены экспериментальные данные, лучше согласующиеся с результатами теоретических исследований [1]. Погрешность составила 4,7 %.

В работе [1] получено более точное выражение для функции Вестергаарда, содержащейся в сингулярном решении для наклонной трещины при двухосном нагружении пластины. Данное приближенное двухкомпонентное решение является достаточно точным. В [2] приведено точное решение задачи для тензора напряжений на плоскости с наклонной трещиной при двухосном нагружении, полученное с помощью выражений для комплексных потенциалов $\Phi(z)$ и $\Omega(z)$ [4]. В [2] определена относительная погрешность суммы $\sigma_1 + \sigma_2$ и разности $\sigma_1 - \sigma_2$ главных напряжений, полученных с использованием обоих методов. Влияние двухосного нагружения ε на компоненты тензора напряжений σ_x , σ_y , τ_{xy} и максимальное касательное напряжение τ_{\max} исследовано методом Колосова — Мусхелишвили [4]. В работе [5] представлены картины изохром и приведен обзор методов

фотоупругости для пластины с наклонной трещиной. В данной работе обобщаются результаты работы [2] для пластины с эллиптическим вырезом при двухосном нагружении пластины. Получены выражения для компонент тензора напряжений, изучено влияние параметра эллипса m при двухосном нагружении пластины с наклонным эллиптическим вырезом и приведены результаты экспериментальных исследований, полученные методом голографической интерферометрии.

Методы механики разрушения позволяют определить сопротивляемость металла сварного соединения разрушению при наличии в нем трещин. Однако особенность сварных соединений состоит в том, что в них имеются концентраторы напряжений (поры, непровары, несплавления, подрезы, шлаковые включения) с достаточно малыми радиусами $\rho = 0,01 \div 0,10$ мм, которые могут привести к разрушению сварных конструкций [6]. Непосредственное использование положений механики разрушения при изучении концентрации напряжений, характерной для сварных швов, некорректно [7].

Обзор критериев, результаты анализа их применимости при расчете предельного равновесия и траектории роста трещин, произвольно ориентированных в поле действующих на тело напряжений, а также значения предельного радиуса ρ_0 приведены в [8].

Целью настоящей работы является теоретическое определение НС и КИН в случае наклонного эллиптического выреза при двухосном нагружении пластины.

1. Напряжения в случае эллиптического отверстия при двухосном нагружении пластины. Рассматривается напряженное состояние пластины с наклонным эллиптическим вырезом, подвергнутой двухосному нагружению. На рис. 1 приведена схема рассматриваемой задачи. Согласно формулам Колосова — Мусхелишвили [4] в плоских задачах теории упругости компоненты тензора напряжений связаны соотношениями [4]

$$\sigma_x + \sigma_y = 2(\varphi'(z) + \overline{\varphi'(\bar{z})}), \quad \sigma_y - \sigma_x + 2i\tau_{xy} = 2(\bar{z}\varphi''(z) + \psi'(z)) \quad (1.1)$$

($z = x + iy$ — комплексная переменная).

Комплексные потенциалы $\varphi(z)$, $\psi(z)$ представим в виде суммы [4]

$$\varphi(z) = \Gamma z + \tilde{\varphi}(z), \quad \psi(z) = \Gamma' z + \tilde{\psi}(z), \quad (1.2)$$

где $\Gamma = (1 + \varepsilon)\sigma/4$; $\Gamma' = (1 - \varepsilon)\sigma e^{-2i\beta}/2$; ε — параметр двухосности нагружения, равный отношению главных напряжений на бесконечности; σ — номинальное напряжение вдоль

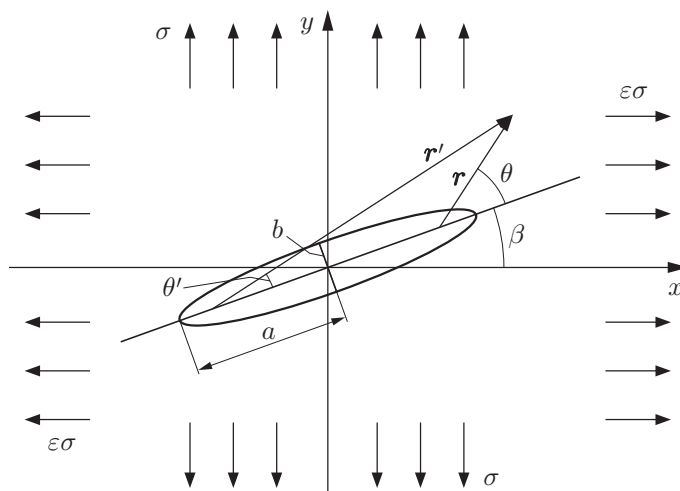


Рис. 1. Схема задачи о наклонном эллиптическом вырезе в пластине, подвергнутой двухосному нагружению

оси y ; β — угол между осью дефекта и осью x , соответствующей первому главному напряжению (см. рис. 1). Определения коэффициентов Γ и Γ' приведены в [4]. Функции $\tilde{\varphi}$, $\tilde{\psi}$ голоморфны в окрестности бесконечности, и $\tilde{\varphi}$ равна нулю на бесконечности.

Используя конформную замену координат, перейдем к новой переменной ζ с помощью преобразования

$$z = R(\zeta + m/\zeta) = \omega(\zeta). \quad (1.3)$$

Значения R , m являются параметрами эллипса и связаны с длинами полуосей a , b соотношениями

$$R = \frac{a+b}{2}, \quad m = \frac{a-b}{a+b}.$$

Данное преобразование переводит часть плоскости вне эллипса в плоскость вне единичной окружности с центром в начале координат.

С учетом (1.3) выражения (1.2) для функций $\varphi(z)$, $\psi(z)$ запишем в следующем виде:

$$\varphi(\zeta) = \Gamma R \zeta + \left[\Gamma \frac{Rm}{\zeta} + \tilde{\varphi} \left(R \left(\zeta + \frac{m}{\zeta} \right) \right) \right], \quad \psi(\zeta) = \Gamma' R \zeta + \left[\Gamma' \frac{Rm}{\zeta} + \tilde{\psi} \left(R \left(\zeta + \frac{m}{\zeta} \right) \right) \right]. \quad (1.4)$$

С использованием теории вычетов и формул (1.4) для комплексных потенциалов получим

$$\begin{aligned} \varphi(\zeta) &= \Gamma R \left(\zeta - \frac{m}{\zeta} \right) - \frac{\bar{\Gamma}' R}{\zeta} = \frac{R\sigma}{4} \left[(1+\varepsilon) \left(\zeta - \frac{m}{\zeta} \right) - \frac{2(1-\varepsilon) e^{2i\beta}}{\zeta} \right], \\ \psi(\zeta) &= \frac{R}{m} \left(m\Gamma' \zeta + \frac{\bar{\Gamma}'}{\zeta} \right) - \frac{(1+m^2)\zeta}{m(\zeta^2-m)} (2\Gamma Rm + \bar{\Gamma}' R) = \\ &= \frac{R\sigma}{2m} \left((1-\varepsilon) \frac{m e^{-2i\beta} \zeta^2 + e^{2i\beta}}{\zeta} - ((1-\varepsilon) e^{2i\beta} + (1+\varepsilon)m)(1+m^2) \frac{\zeta}{\zeta^2-m} \right). \end{aligned}$$

С учетом (1.3) комплексные потенциалы $\varphi(\zeta)$ и $\psi(\zeta)$ запишем в следующем виде:

$$\begin{aligned} \varphi(z) &= \frac{\sigma}{4m} \left\{ -(1-\varepsilon) e^{2i\beta} z + [m(1+\varepsilon) + (1-\varepsilon) e^{2i\beta}] \sqrt{z^2-d^2} \right\}, \\ \psi(z) &= \frac{\sigma}{2} \left((1-\varepsilon) \frac{e^{2i\beta} + e^{-2i\beta} m^2}{2m^2} z - (1-\varepsilon) \frac{e^{2i\beta} - e^{-2i\beta} m^2}{2m^2} \sqrt{z^2-d^2} - \right. \\ &\quad \left. - [m(1+\varepsilon) + (1-\varepsilon) e^{2i\beta}] \frac{1+m^2}{m(1+m)^2} \frac{a^2}{\sqrt{z^2-d^2}} \right) \end{aligned}$$

(d — фокусное расстояние эллипса: $d^2 = a^2 - b^2$).

Для упрощения вычислений используем комплексные функции $\Phi(z) = \varphi'(z)$ и $\Psi(z) = \psi'(z)$, которые являются производными комплексных потенциалов $\varphi(z)$ и $\psi(z)$:

$$\begin{aligned} \Phi(z) &= \frac{\sigma}{4m} \left(-(1-\varepsilon) e^{2i\beta} + [m(1+\varepsilon) + (1-\varepsilon) e^{2i\beta}] \frac{z}{\sqrt{z^2-d^2}} \right), \\ \Psi(z) &= \frac{\sigma}{2} \left((1-\varepsilon) \frac{e^{2i\beta} + e^{-2i\beta} m^2}{2m^2} - (1-\varepsilon) \frac{e^{2i\beta} - e^{-2i\beta} m^2}{2m^2} \frac{z}{\sqrt{z^2-d^2}} + \right. \\ &\quad \left. + [m(1+\varepsilon) + (1-\varepsilon) e^{2i\beta}] \frac{1+m^2}{m(1+m)^2} \frac{a^2 z}{(z^2-d^2)^{3/2}} \right). \end{aligned} \quad (1.5)$$

В случае центральной линейной трещины ($m = 1$) при $\beta = 0^\circ$ функция Вестергаарда с использованием выражения (1.5) для функции $\Phi(z)$ записывается в виде

$$2\varphi'(z) = 2\Phi(z) = \frac{\sigma z}{\sqrt{z^2 - a^2}} - \frac{1}{2}(1 - \varepsilon)\sigma.$$

Ранее это выражение было получено в [1, 2].

Для вычисления тензора напряжений используем формулы, следующие из (1.1):

$$\begin{aligned} \sigma_x + \sigma_y &= 2(\Phi(z) + \overline{\Phi(z)}) = 4 \operatorname{Re}(\Phi(z)), & \sigma_x - \sigma_y &= 2 \operatorname{Re}(\bar{z}\Phi'(z) + \Psi(z)), \\ \tau_{xy} &= \operatorname{Im}(\bar{z}\Phi'(z) + \Psi(z)). \end{aligned}$$

Для записи компонент тензора напряжений в вершине дефекта произведем замены переменных:

$$z = r e^{i\theta} + d = r' e^{i\theta'} - d, \quad 2d = r' e^{i\theta'} - r e^{i\theta}, \quad rr' = |z^2 - d^2|. \quad (1.6)$$

С учетом (1.6) комплексные потенциалы $\Phi(z)$, $\Psi(z)$ с использованием (1.5) можно записать в виде

$$\begin{aligned} \Phi(z) &= -A_0(\cos 2\beta + i \sin 2\beta) + (A_1 + iA_2) \frac{r \cos \theta + d + ir \sin \theta}{\sqrt{rr'}} \left(\cos \frac{\theta + \theta'}{2} - i \sin \frac{\theta + \theta'}{2} \right), \\ \Psi(z) &= A_0 \frac{1 + m^2}{m} \cos 2\beta + iA_0 \frac{1 - m^2}{m} \sin 2\beta - \\ &- A_0 \frac{r \cos \theta + d + ir \sin \theta}{\sqrt{rr'}} \left(\frac{1 - m^2}{m} \cos 2\beta + i \frac{1 + m^2}{m} \sin 2\beta \right) \left(\cos \frac{\theta + \theta'}{2} - i \sin \frac{\theta + \theta'}{2} \right) + \\ &+ 2(A_1 + iA_2)a^2 B_1 \frac{r \cos \theta + d + ir \sin \theta}{(rr')^{3/2}} \left(\cos \frac{3(\theta + \theta')}{2} - i \sin \frac{3(\theta + \theta')}{2} \right), \end{aligned} \quad (1.7)$$

где

$$\begin{aligned} A_0 &= \frac{\sigma(1 - \varepsilon)}{4m}, & A_1 &= \frac{\sigma[m(1 + \varepsilon) + (1 - \varepsilon) \cos 2\beta]}{4m}, \\ A_2 &= \frac{\sigma(1 - \varepsilon) \sin 2\beta}{4m}, & B_1 &= \frac{1 + m^2}{(1 + m)^2}. \end{aligned}$$

Производная комплексного потенциала $\Phi'(z)$ равна

$$\Phi'(z) = -(A_1 + iA_2)a^2 B_2 \frac{1}{(rr')^{3/2}} \left(\cos \frac{3(\theta + \theta')}{2} - i \sin \frac{3(\theta + \theta')}{2} \right), \quad (1.8)$$

где $B_2 = d^2/a^2 = 4m/(1 + m)^2$.

С использованием (1.7), (1.8) выражения для суммы $\sigma_x + \sigma_y$ и разности $\sigma_x - \sigma_y$ нормальных напряжений и касательного напряжения τ_{xy} можно записать в следующем виде:

$$\sigma_x + \sigma_y = 4A_1 F_1 - 4A_0 \cos 2\beta - 4A_2 F_2; \quad (1.9)$$

$$\begin{aligned} \sigma_y - \sigma_x &= 2A_0 \frac{1 + m^2}{m} \cos 2\beta + \frac{4a^2 r \sin \theta}{(rr')^{3/2}} G_1 - 2A_0 F_1 \frac{1 - m^2}{m} \cos 2\beta + \\ &+ 2A_0 F_2 \frac{1 + m^2}{m} \sin 2\beta + (r \cos \theta + d) \frac{4a^2}{(rr')^{3/2}} \frac{(1 - m)^2}{(1 + m)^2} G_2; \end{aligned} \quad (1.10)$$

$$\begin{aligned} \tau_{xy} = & A_0 \frac{1-m^2}{m} \sin 2\beta + 2r \sin \theta \frac{a^2}{(rr')^{3/2}} G_2 - A_0 F_2 \frac{1-m^2}{m} \cos 2\beta - \\ & - A_0 F_1 \frac{1+m^2}{m} \sin 2\beta - 2(r \cos \theta + d) \frac{a^2}{(rr')^{3/2}} \frac{(1-m)^2}{(1+m)^2} G_1. \end{aligned} \quad (1.11)$$

Здесь

$$\begin{aligned} F_1 &= \frac{1}{\sqrt{rr'}} \left((r \cos \theta + d) \cos \frac{\theta + \theta'}{2} + r \sin \theta \sin \frac{\theta + \theta'}{2} \right), \\ F_2 &= \frac{1}{\sqrt{rr'}} \left(- (r \cos \theta + d) \sin \frac{\theta + \theta'}{2} + r \sin \theta \cos \frac{\theta + \theta'}{2} \right), \\ G_1 &= A_1 \sin \frac{3(\theta + \theta')}{2} - A_2 \cos \frac{3(\theta + \theta')}{2}, \quad G_2 = A_1 \cos \frac{3(\theta + \theta')}{2} + A_2 \sin \frac{3(\theta + \theta')}{2}. \end{aligned}$$

Из соотношений (1.9), (1.10) получаем компоненты тензора напряжений σ_x , σ_y :

$$\begin{aligned} \sigma_x &= A_0 \cos 2\beta \left(- \frac{(1-m)^2}{m} - 4 \right) + \left(2A_1 + A_0 \frac{1-m^2}{m} \cos 2\beta \right) F_1 + A_2 F_2 \left(- \frac{(1-m)^2}{m} - 4 \right) - \\ & - (r \cos \theta + d) \frac{2a^2}{(rr')^{3/2}} \frac{(1-m)^2}{(1+m)^2} G_2 - r \sin \theta \frac{2a^2}{(rr')^{3/2}} G_1, \\ \sigma_y &= A_0 \frac{(1-m)^2}{m} \cos 2\beta + \left(2A_1 - A_0 \frac{1-m^2}{m} \cos 2\beta \right) F_1 + A_2 F_2 \frac{(1-m)^2}{m} + \\ & + (r \cos \theta + d) \frac{2a^2}{(rr')^{3/2}} \frac{(1-m)^2}{(1+m)^2} G_2 + r \sin \theta \frac{2a^2}{(rr')^{3/2}} G_1. \end{aligned} \quad (1.12)$$

Из (1.6) следует

$$r' \cos \theta' = 2d + r \cos \theta, \quad r' \sin \theta' = r \sin \theta.$$

Таким образом, координаты r' , θ' выражаются через r , θ и формулы (1.11), (1.12) зависят лишь от r , θ .

В случае трещин при $m = 1$ соотношения (1.11), (1.12) соответствуют выражениям для напряжений, приведенным в [2].

2. Коэффициенты интенсивности напряжений в случае наклонного трещиноподобного дефекта при двухосном нагружении. Используя алгоритм работ [9, 10] и соотношение (1.5) для $\Phi(z)$, определим коэффициенты интенсивности напряжений:

$$K = K_I - iK_{II} = \lim_{z \rightarrow d} (2\sqrt{2\pi}\sqrt{z-d}\Phi(z)). \quad (2.1)$$

Преобразуя (2.1) и выделяя вещественную и мнимую части, получим

$$K_I = \sqrt[4]{\frac{4m}{(1+m)^2}} \left(\sqrt{\pi a} \frac{\sigma(m(1+\varepsilon) + (1-\varepsilon)\cos 2\beta)}{2m} \right); \quad (2.2)$$

$$K_{II} = -\sqrt[4]{\frac{4m}{(1+m)^2}} \left(\sqrt{\pi a} \frac{\sigma(1-\varepsilon)\sin 2\beta}{2m} \right). \quad (2.3)$$

Следовательно,

$$A_1 = \frac{K_I}{2\sqrt{\pi a}} \sqrt[4]{\frac{(1+m)^2}{4m}} = \frac{K_I}{2\sqrt{\pi d}}, \quad A_2 = -\frac{K_{II}}{2\sqrt{\pi a}} \sqrt[4]{\frac{(1+m)^2}{4m}} = -\frac{K_{II}}{2\sqrt{\pi d}}. \quad (2.4)$$

С использованием (2.4), (1.11), (1.12) выражения для компонент тензора напряжений σ_x , σ_y , τ_{xy} запишем в виде

$$\begin{aligned}
 \sigma_x = & A_0 \cos 2\beta \left(\frac{(1-m)^2}{m} - 4 + \frac{1-m^2}{m} F_1 \right) + \\
 & + \frac{K_I}{2\sqrt{\pi a}} \sqrt[4]{\frac{(1+m)^2}{4m}} \left(2F_1 - \cos \frac{3(\theta+\theta')}{2} (r \cos \theta + d) \frac{2a^2}{(rr')^{3/2}} \frac{(1-m)^2}{(1+m)^2} - \right. \\
 & \left. - \sin \frac{3(\theta+\theta')}{2} r \sin \theta \frac{2a^2}{(rr')^{3/2}} \right) - \\
 & - \frac{K_{II}}{2\sqrt{\pi a}} \sqrt[4]{\frac{(1+m)^2}{4m}} \left[\left(\frac{(1-m)^2}{m} - 4 \right) F_2 - \sin \frac{3(\theta+\theta')}{2} (r \cos \theta + d) \frac{2a^2}{(rr')^{3/2}} \frac{(1-m)^2}{(1+m)^2} + \right. \\
 & \left. + \cos \frac{3(\theta+\theta')}{2} r \sin \theta \frac{2a^2}{(rr')^{3/2}} \right], \\
 \sigma_y = & A_0 \cos 2\beta \left(\frac{(1-m)^2}{m} - \frac{1-m^2}{m} F_1 \right) + \\
 & + \frac{K_I}{2\sqrt{\pi a}} \sqrt[4]{\frac{(1+m)^2}{4m}} \left(2F_1 + \cos \frac{3(\theta+\theta')}{2} (r \cos \theta + d) \frac{2a^2}{(rr')^{3/2}} \frac{(1-m)^2}{(1+m)^2} + \right. \\
 & \left. + \sin \frac{3(\theta+\theta')}{2} r \sin \theta \frac{2a^2}{(rr')^{3/2}} \right) - \quad (2.5) \\
 & - \frac{K_{II}}{2\sqrt{\pi a}} \sqrt[4]{\frac{(1+m)^2}{4m}} \left(\frac{(1-m)^2}{m} F_2 + \sin \frac{3(\theta+\theta')}{2} (r \cos \theta + d) \frac{2a^2}{(rr')^{3/2}} \frac{(1-m)^2}{(1+m)^2} - \right. \\
 & \left. - \cos \frac{3(\theta+\theta')}{2} r \sin \theta \frac{2a^2}{(rr')^{3/2}} \right), \\
 \tau_{xy} = & -A_0 \cos 2\beta \frac{1-m^2}{m} F_2 - \\
 & - \frac{K_I}{2\sqrt{\pi a}} \sqrt[4]{\frac{(1+m)^2}{4m}} \left(\sin \frac{3(\theta+\theta')}{2} (r \cos \theta + d) \frac{2a^2}{(rr')^{3/2}} \frac{(1-m)^2}{(1+m)^2} - \right. \\
 & \left. - \cos \frac{3(\theta+\theta')}{2} 2r \sin \theta \frac{a^2}{(rr')^{3/2}} \right) - \\
 & - \frac{K_{II}}{2\sqrt{\pi a}} \sqrt[4]{\frac{(1+m)^2}{4m}} \left(\cos \frac{3(\theta+\theta')}{2} (r \cos \theta + d) \frac{2a^2}{(rr')^{3/2}} \frac{(1-m)^2}{(1+m)^2} + \right. \\
 & \left. + \sin \frac{3(\theta+\theta')}{2} r \sin \theta \frac{2a^2}{(rr')^{3/2}} + \frac{1-m^2}{m} - \frac{1+m^2}{m} F_1 \right).
 \end{aligned}$$

Отличие выражений (2.5) для компонент тензора напряжений σ_x , σ_y , τ_{xy} от формул, приведенных в [2], заключается в наличии новых дополнительных слагаемых с параметром эллиптического выреза m . В случае трещины эти слагаемые становятся равными нулю и получается решение Теокариса [2].

3. Экспериментальное определение КИН K_I, K_{II} в случае наклонного эллиптического выреза методом голографической интерферометрии. В [3, 5] приведен обзор методов определения значений коэффициентов K_I и K_{II} на оптически чувствительных пластинах с наклонной трещиной методами фотоупругости и голографической интерферометрии при одноосном растяжении. В соответствии с теорией Неймана и законом Гука, полагая деформации малыми, для тонкой пластины имеем зависимость между номерами N_1 и N_2 интерференционных полос на картинах абсолютных разностей хода (АРХ) и главными напряжениями σ_1 и σ_2 в виде соотношений [11]

$$N_1 = a_1\sigma_1 + b_1\sigma_2, \quad N_2 = b_1\sigma_1 + a_1\sigma_2,$$

где $a_1 = 0,625$ полос/МПа, $b_1 = 0,453$ полос/МПа — оптические постоянные материала ЭД-20МППФА, определяемые в тарировочном эксперименте [12]. Угол поляризации отсчитывается от вертикальной оси. В [12] подробно описана методика тарирования фотоупругого материала, обеспечивающая повышение точности определения постоянных a_1, b_1 за счет использования всех наблюдаемых интерференционных полос и исключающая операцию интерполирования при установлении номеров полос. Коэффициенты a_1, b_1 определялись из условия минимума среднеквадратичного отклонения их значений, полученных с использованием экспериментальных и теоретических полос. Использование методики [12] позволило уменьшить погрешность измерения напряжений с 26 до 12 % при той же точности обработки картин полос.

Картины АРХ удобнее обрабатывать вдоль оси трещиноподобного дефекта (наибольшее количество полос) при $\theta = 0, \theta' = 0$. Используя выражение для суммы главных напряжений $\sigma_x + \sigma_y = \sigma_1 + \sigma_2$, из (1.9) получим

$$\sigma_1 + \sigma_2 = \frac{N_1 + N_2}{a_1 + b_1} = -4A_0 \cos 2\beta + 4A_1 \frac{r + d}{\sqrt{r(r + 2d)}}. \quad (3.1)$$

Подставляя первое соотношение (2.4) в выражение (3.1), находим

$$K_I^i = \sqrt{\pi d} \left(\frac{N_{1i} + N_{2i}}{a_1 + b_1} + \frac{\sigma(1 - \varepsilon)}{m} \cos(2\beta) \right) \frac{\sqrt{r_i(r_i + 2d)}}{2(r_i + d)}. \quad (3.2)$$

Используя соотношение (1.10) для разности нормальных напряжений $\sigma_x - \sigma_y$, соотношение (1.11) для касательного напряжения τ_{xy} и формулу для максимального касательного напряжения $4\tau_{\max}^2 = (\sigma_y - \sigma_x)^2 + 4\tau_{xy}^2$, получим соотношение между разностью номеров полос $N_1 - N_2$ и коэффициентами K_I и K_{II}

$$\begin{aligned} (\sigma_1^i - \sigma_2^i)^2 &= \left(\frac{N_{1i} - N_{2i}}{a_1 - b_1} \right)^2 = \\ &= \left(2A_0 \frac{1 + m^2}{m} \cos 2\beta - 2A_0 \frac{1 - m^2}{m} \cos 2\beta \frac{r_i + d}{\sqrt{r_i r_i'}} + (r_i + d) \frac{4a^2}{(r_i r_i')^{3/2}} \frac{(1 - m)^2}{(1 + m)^2} \frac{K_I^i}{2\sqrt{\pi d}} \right)^2 + \\ &+ 4 \left[\frac{K_{II}^i}{2\sqrt{\pi d}} \left(2(r_i + d) \frac{a^2}{(r_i r_i')^{3/2}} \frac{(1 - m)^2}{(1 + m)^2} + \frac{1 - m^2}{m} - \frac{1 + m^2}{m} \frac{r_i + d}{\sqrt{r_i r_i'}} \right) \right]^2, \quad (3.3) \end{aligned}$$

где $r' = r + 2d$; σ_1^i, σ_2^i — главные напряжения на оси выреза на расстоянии r_i от фокуса эллипса.

Из уравнения (3.3) с учетом выражения (3.2) для K_I получим соотношения для K_{II}

$$K_{II}^i = \frac{1}{|D|} \sqrt{\left(\frac{N_{1i} - N_{2i}}{a_1 - b_1} \right)^2 - C^2}. \quad (3.4)$$

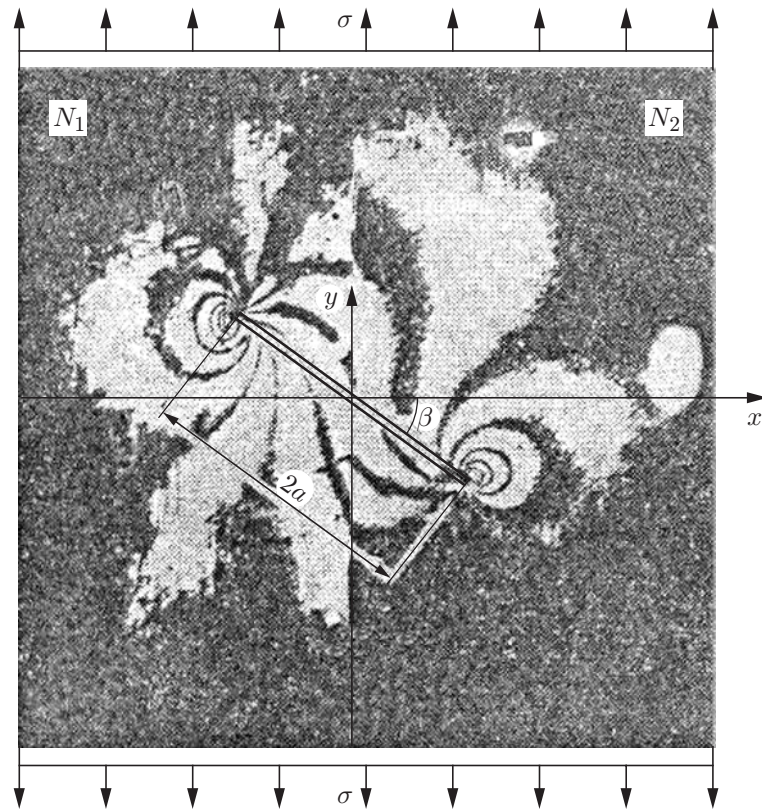


Рис. 2. Интерференционные картины АРХ при вертикальной и горизонтальной поляризациях опорного пучка

Здесь

$$C = \frac{\sigma(1 - \varepsilon)}{2m} \cos 2\beta \left(\frac{1 + m^2}{m} - \frac{1 - m^2}{m} \frac{r_i + d}{\sqrt{r_i(r_i + 2d)}} \right) + (r_i + d) \frac{4a^2}{(r_i(r_i + 2d))^{3/2}} \frac{(1 - m)^2}{(1 + m)^2} \frac{K_I^i}{2\sqrt{\pi d}},$$

$$D = \frac{1}{\sqrt{\pi d}} \left(2(r_i + d) \frac{a^2}{(r_i(r_i + 2d))^{3/2}} \frac{(1 - m)^2}{(1 + m)^2} + \frac{1 - m^2}{m} - \frac{1 + m^2}{m} \frac{r_i + d}{\sqrt{r_i(r_i + 2d)}} \right).$$

Экспериментальная проверка теоретических формул (3.2), (3.4) для коэффициентов интенсивности напряжений K_I , K_{II} проводилась с использованием результатов исследований, проведенных в [3, 13] методом голографической интерферометрии. Использовалась пластина с наклонным эллиптическим вырезом, подвергнутая одноосному растяжению (длина дефекта $2a = 13,4$ мм, ширина дефекта $b = 0,1$ мм, угол наклона дефекта $\beta = 32,5^\circ$, номинальное напряжение $\sigma = 2,1$ МПа, ширина пластины 96 мм). Для регистрации картин АРХ использовались голограммы сфокусированных изображений. Картины АРХ (рис. 2) получены методом двух экспозиций. В качестве источника света использовался лазер ЛГ-38. Оптическая схема и описание эксперимента приведены в [14].

С использованием методики определения КИН можно построить графики номеров полюсов N_1 и N_2 по картинам АРХ вдоль оси эллипса [15], определить значения N_{1i} и N_{2i} в точках r_i , вычислить K_I^i по выражению (3.2), построить график зависимости $K_I = K_I(r_i)$ с последующей экстраполяцией в вершину эллипса.

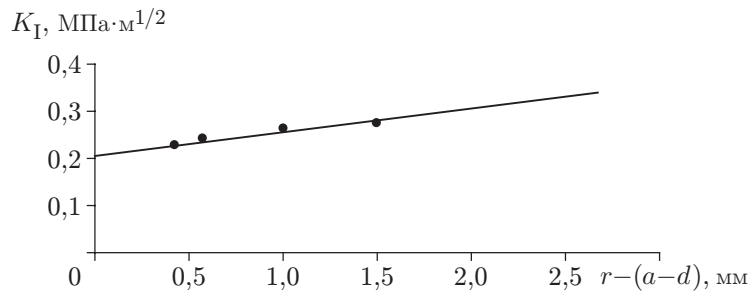


Рис. 3. Экспериментальная зависимость коэффициента интенсивности напряжений K_I от параметра $r - (a - d)$, полученная методом голографической интерферометрии

По сумме номеров интерференционных полос картин АРХ $N_1 + N_2$ с помощью (3.2) определено значение коэффициента интенсивности напряжения K_I и построен график зависимости K_I от расстояния $r_i - (a - d)$ от вершины надреза, причем параметры a, d определялись по длине и ширине трещины. Экспериментальные значения K_I аппроксимируются наклонной прямой (рис. 3). Аналогичный подход применялся в [13, 16].

С использованием полученных результатов вычислено значение $K_I^э = 0,211$ МПа·м^{1/2} в соответствии с выражением (3.2). Данное экспериментальное значение $K_I^э$ согласуется с расчетным значением $K_I^р = 0,217$ МПа·м^{1/2}, полученным по формуле (2.2), с погрешностью, приблизительно равной 2,7 % при $m = 0,97$. Экспериментальное значение $K_{II}^э = 0,139$ МПа·м^{1/2}, вычисленное по формуле (3.4), согласуется с расчетным значением $K_{II}^р = 0,142$ МПа·м^{1/2}, вычисленным по выражению (2.3), с погрешностью, равной 2,1 %.

Полученные результаты свидетельствуют о высокой точности определения значений КИН по предложенной методике при анализе картин полос АРХ в вершине эллиптического выреза.

При оценке сопротивляемости сварных соединений хрупкому разрушению при наличии наклонных технологических дефектов (непровар, шлаковые включения, несплавление) необходимо учитывать влияние радиуса в вершине дефекта и геометрические размеры дефекта для определения критериальных характеристик K_{Ic} и значений коэффициентов интенсивности напряжения K_I, K_{II} .

Заключение. Таким образом, в работе методом Колосова — Мухелишвили получены формулы для компонент тензора напряжений в окрестности вершины эллиптического отверстия, которые в частном случае вырождаются в соотношения для линейной трещины [2].

В случае наклонного эллиптического выреза экспериментальные значения K_I , определенные методом голографической интерферометрии, согласуются с расчетными значениями с погрешностью, равной 2,7 %, а значения K_{II} — с погрешностью, равной 2,1 %.

ЛИТЕРАТУРА

1. Eftis J., Subramonian N. The inclined crack under biaxial load // Engng Fracture Mech. 1978. V. 10, N 1. P. 43–67.
2. Theocaris P. S., Michopoulos J. G. A closed form solution of slant crack under biaxial loading // Engng Fracture Mech. 1983. V. 17, N 2. P. 97–123.
3. Остсеин А. А. Двухпараметрическое определение коэффициентов интенсивности напряжений для наклонной трещины методом голографической интерферометрии // Завод. лаб. 1991. № 12. С. 45–48.

4. **Мусхелишвили Н. И.** Некоторые основные задачи математической теории упругости. М.: Наука, 1966.
5. **Theocaris P. S., Spyropoulos C. P.** Photoelastic determination of complex stress intensity factors for slant crack under biaxial loading with higher-order term effects // Acta Mech. 1983. V. 48. P. 57–70.
6. **Винокуров В. А.** Сварные конструкции. Механика разрушения и критерии работоспособности / В. А. Винокуров, С. А. Куркин, Г. А. Николаев. М.: Машиностроение, 1996.
7. **Винокуров В. А.** Использование положений механики разрушения для оценки свойств сварных соединений // Свароч. пр-во. 1977. № 5. С. 2–4.
8. **Панасюк В. В.** Механика квазихрупкого разрушения материалов. Киев: Наук. думка, 1991.
9. **Си Дж.** Математическая теория хрупкого разрушения. Т. 2. Разрушение / Дж. Си, Г. Либовиц. М.: Мир, 1975. С. 83–203.
10. **Парис П., Си Дж.** Анализ напряженного состояния около трещин // Прикладные вопросы вязкости разрушения. М.: Мир, 1968. С. 64–142.
11. **Александров А. Я.** Поляризационно-оптические методы механики деформируемого тела / А. Я. Александров, М. Х. Ахметзянов. М.: Наука, 1973.
12. **Остсемин А. А., Денискин С. А., Ситников Л. Л. и др.** Определение напряженного состояния тел с дефектами методом голографической фотоупругости // Пробл. прочности. 1982. № 10. С. 77–81.
13. **Остсемин А. А., Денискин С. А., Ситников Л. Л. и др.** Определение коэффициентов интенсивности напряжений для наклонной трещины методом голографической интерферометрии // Завод. лаб. 1987. № 12. С. 66–69.
14. **Ситников Л. Л., Остсемин А. А., Денискин С. А. и др.** Определение коэффициента интенсивности напряжений K_1 методом голографической фотоупругости // Завод. лаб. 1982. № 9. С. 81–83.
15. **Остсемин А. А., Денискин С. А., Ситников Л. Л.** Определение коэффициента интенсивности напряжений методами фотоупругого моделирования // Пробл. прочности. 1990. № 1. С. 33–37.
16. **Брок Д.** Основы механики разрушения. М.: Высш. шк., 1980.

*Поступила в редакцию 21/IX 2007 г.,
в окончательном варианте — 11/VI 2008 г.*
